

Nowoczesne technologie materiałowe stosowane w przemyśle lotniczym

Modern material technologies in aerospace industry



INNOWACYJNA
GOSPODARKA
NARODOWA STRATEGIA SPÓŁNOŚCI



UNIA EUROPEJSKA
EUROPEJSKI FUNDUSZ
ROZWOJU REGIONALNEGO



KONFERENCJA
RADY PARTNERÓW CZT AERONET
i PANELE EKSPERTÓW
25-26 Maja 2015

ZB 6

Materiały kompozytowe o zwiększonej wytrzymałości i odporności termicznej z wykorzystaniem żywic polimerowych do zastosowań w lotnictwie

Composite materials of improved strength and thermal resistance with the use of polymeric resins applied in aviation

Politechnika Rzeszowska, Politechnika Warszawska, Politechnika Lubelska

Wyniki badań Results

Badanie wytrzymałości na rozciąganie udarowe laminatów wzmacnianych jednokierunkowymi tkaninami szklanymi i węglowymi z osnową epoksydową z dodatkiem modyfikowanych glinokrzemianów

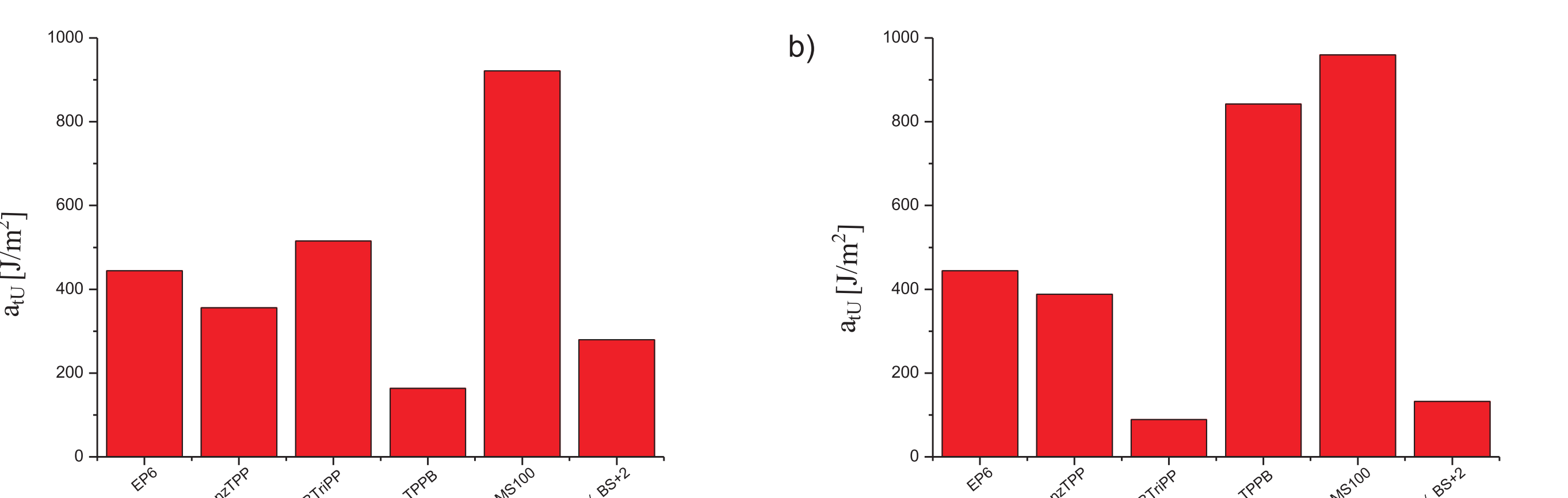
Impact tensile strength of laminates reinforced with unidirectional glass or carbon fabrics with epoxy matrix containing modified aluminosilicates

Przygotowano kompozycje epoksydowe z dodatkiem 1-3% bentonitów modyfikowanych czwartorzędowymi solami amoniowymi i fosforowymi oraz handlowych antyptirenów (polifosforan amonu APP, dipentaerytrytol DPER) tak aby całkowita ilość dodatków nie przekraczała 23% mas., które wykorzystano jako osnowy laminatów wzmacnionych jednokierunkowymi tkaninami szklanymi i węglowymi.

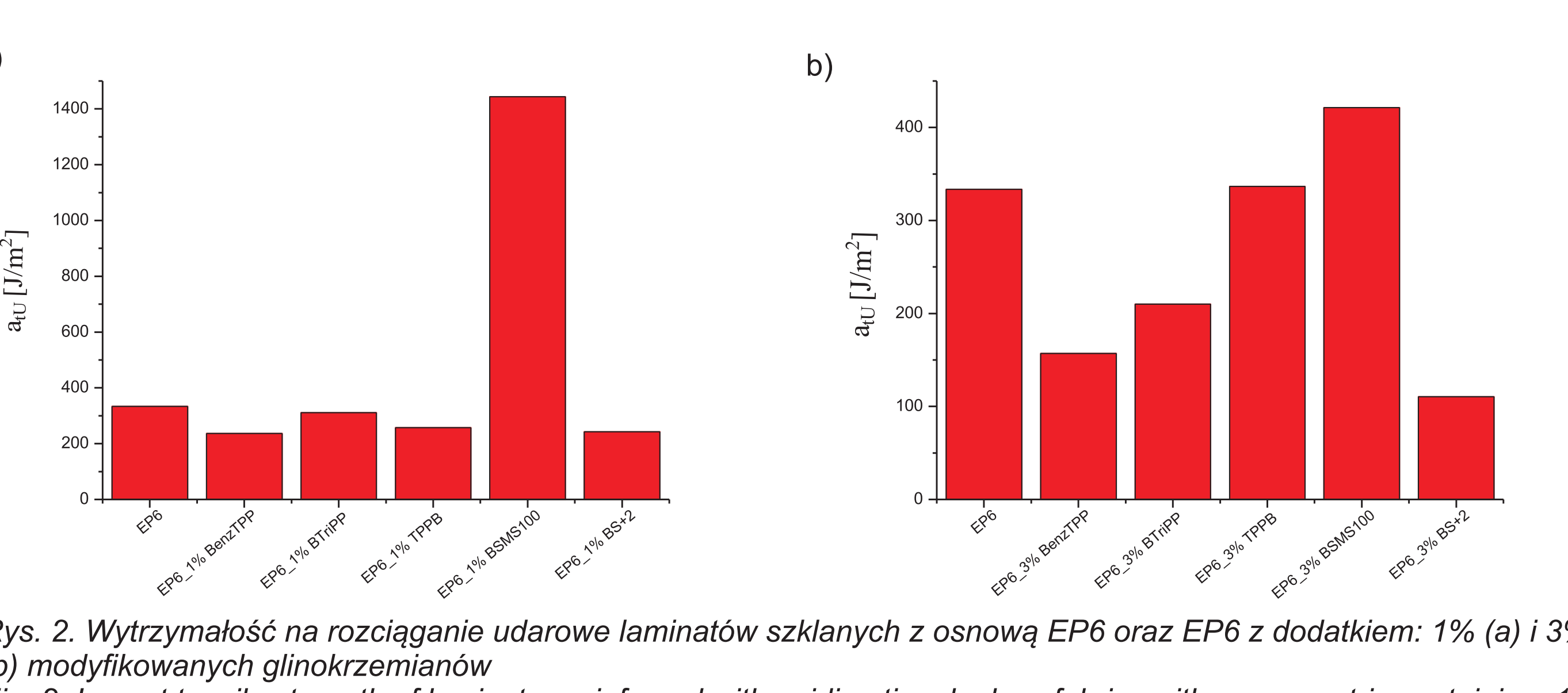
Ponadto zbadano wpływ zawartości modyfikowanych bentonitów na czas żelowania oraz energię aktywacji żelowania kompozycji epoksydowych oraz zbadano wytrzymałość na rozciąganie udarowe laminatów z osnowami tych kompozycji.

Otrzymano sztywne pianki poliuretanowe, które zostały wykonane jednoetapowo w wyniku spienienia przedmieszkii polioliowej oraz diizocyjanianu. Przedmieszki polioliowa wykonano poprzez homogenizację polioli, stabilizatora piany i poroforu z antyptirenami stosując szybkoobrotowy mieszalnik, w którym elementem homogenizującym jest mieszadło turbinowe (30 min.) oraz szybkoobrotowy mieszalnik typu cylinder w cylindrze (10min.). Otrzymane pianki poddano badaniom odporności na płomień w komorze UL-94 oraz w mikrokalorymetrze stożkowym.

Otrzymano kompozyty przekładkowe o zwiększonej odporności na płomień, składające się z laminatów szklanych i węglowych oraz sztywnych pianek poliuretanowych.



Rys. 1. Wytrzymałość na rozciąganie udarowe laminatów węglowych z osnową EP6 oraz EP6 z dodatkiem: 1% (a) i 3% (b) modyfikowanych glinokrzemianów
Fig. 1. Impact tensile strength of laminates reinforced with unidirectional carbon fabrics with epoxy matrix containing: 1% (a) and 3% (b) modified aluminosilicates



Rys. 2. Wytrzymałość na rozciąganie udarowe laminatów szklanych z osnową EP6 oraz EP6 z dodatkiem: 1% (a) i 3% (b) modyfikowanych glinokrzemianów
Fig. 2. Impact tensile strength of laminates reinforced with unidirectional glass fabrics with epoxy matrix containing: 1% (a) and 3% (b) modified aluminosilicates

Wyznaczanie czasu żelowania oraz energii aktywacji żelowania kompozycji epoksydowych z dodatkiem modyfikowanych glinokrzemianów

Gelation time and curing activation energy of epoxy compositions containing modified aluminosilicates

Tabela 1. Czas żelowania i wartości energii aktywacji EP6 oraz kompozycji epoksydowych z dodatkiem modyfikowanych glinokrzemianów

Table 1. Gelation time and curing activation energy of EP6 and EP6 containing modified aluminosilicates

Kompozycja	Temperatura sieciowania [K]	Czas sieciowania [s]	Ea [J/mol]
EP6	303	9265	50,712
	318	2075	
	333	1508	
EP6_1%BTSTPP	303	8123	42,751
	318	3777	
	333	1700	
EP6_3%BTSTPP	303	3552	44,515
	318	1717	
	333	9475	
EP6_1%BenzTPP	303	3626	49,434
	318	1550	
	333	8916	
EP6_3%BenzTPP	318	3525	48,224
	333	1530	
EP6_1%BenzTPBr	303	3793	45,781
	318	3254	
	333	1499	
EP6_3%BenzTPBr	303	3531	47,624
	318	3388	
	333	1316	
EP6_1%BSMS100	303	8847	47,847
	318	3223	
	333	1542	
EP6_3%BSMS100	303	8506	44,774
	318	3665	
	333	1652	
EP6_1%BS-2	303	9316	45,249
	318	3784	
	333	1784	
EP6_3%BS-2	303	9746	46,774
	318	3654	
	333	1768	

Opracowanie założzeń technologicznych do urządzenia laboratoryjnego do wytwarzania maty kompozytowej „Prepreg”

Technological data for the laboratory composite assembling line 'Prepreg'



Epoxy compositions were prepared containing 1-3 wt.% of bentonite modified with quaternary ammonium or phosphonium salts as well as commercial flame retardants (ammonium polyphosphate APP, dipentaerytritol DPER) so that the total amount of the filler did not exceed 23 wt.%. The compositions were used as matrices for laminates reinforced with unidirectional glass and carbon fabrics. The effect of bentonite content on gelation time, and curing activation energy was determined and the impact tensile strength of the resulting laminates measured.

Novel rigid polyurethane foams were prepared in a one stage process of foaming a polyol premix and diisocyanate. The polyol premix was prepared by homogenizing polyol, foam stabilizer and flame retardants on a high-speed mixer equipped with a turbine propeller (for 30 min.) and then on a high-speed mixer of a cylinder-in-cylinder construction (for 10 more min.). The flammability of foams was tested in an UL-94 chamber and in cone microcalorimeter.

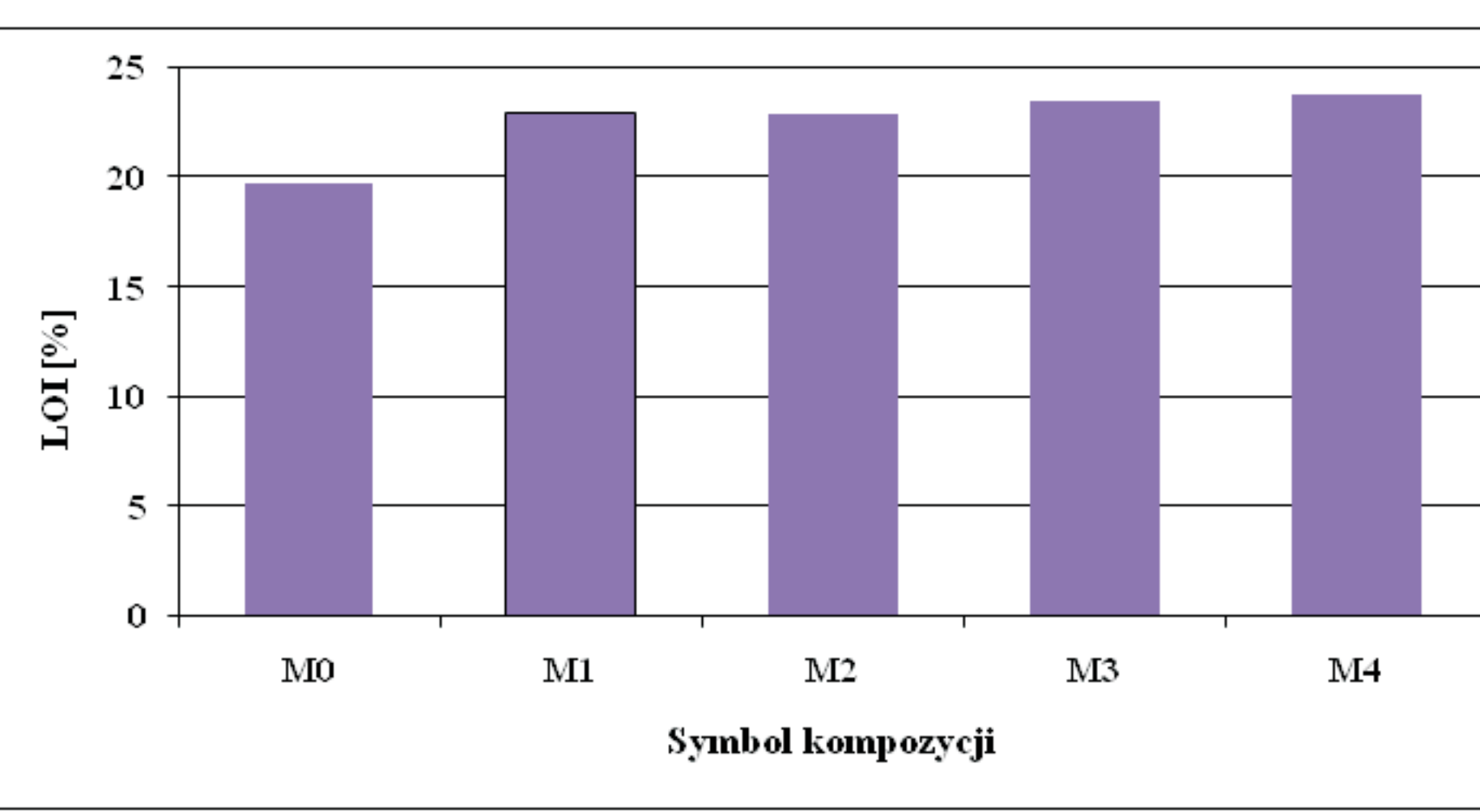
Multilayer composites of improved flame resistance were prepared consisting of glass or carbon laminates and rigid polyurethane foams.

Otrzymywanie sztywnych pianek poliuretanowych zawierających dodatki uniepalniające
Preparation of rigid polyurethane foams containing flame retardants

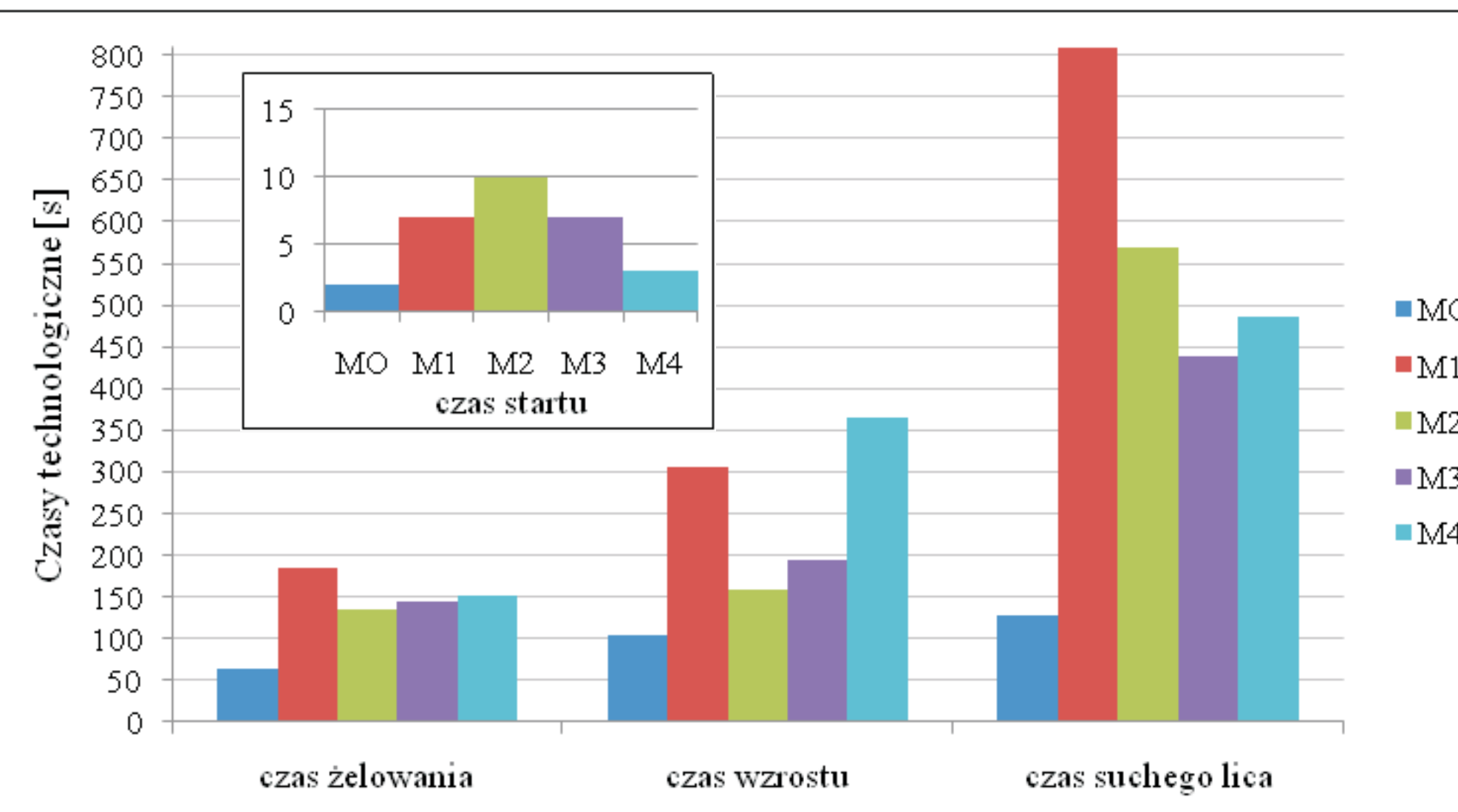
Tabela 2. Skład kompozycji poliuretanowych
Table 2. Composition of polyurethane polymers

Symbol kompozycji	M0	M1	M2	M3	M4
Rokopol G441	29,89	23,81	2,87	2,87	2,87
Glikol cyklowy	3,32	2,87	2,87	2,87	2,87
MDI	64,42	53,64	55,48	55,64	55,64
H2O	1,66	1,43	1,43	1,43	1,43
DABCO	0,38	0,34	0,33	0,34	0,34
MomentiveNaxSilicone	0,33	0,29	0,57	0,29	0,29
TDP	4,30	4,29	4,30	4,30	4,30
BSQPS1	-	-	0,72	-	-
MH	-	-	-	0,72	-
GE	-	-	-	-	0,72
Kwas borsowy	-	0,72	-	-	-
APP	8,60	8,58	8,60	8,60	8,60

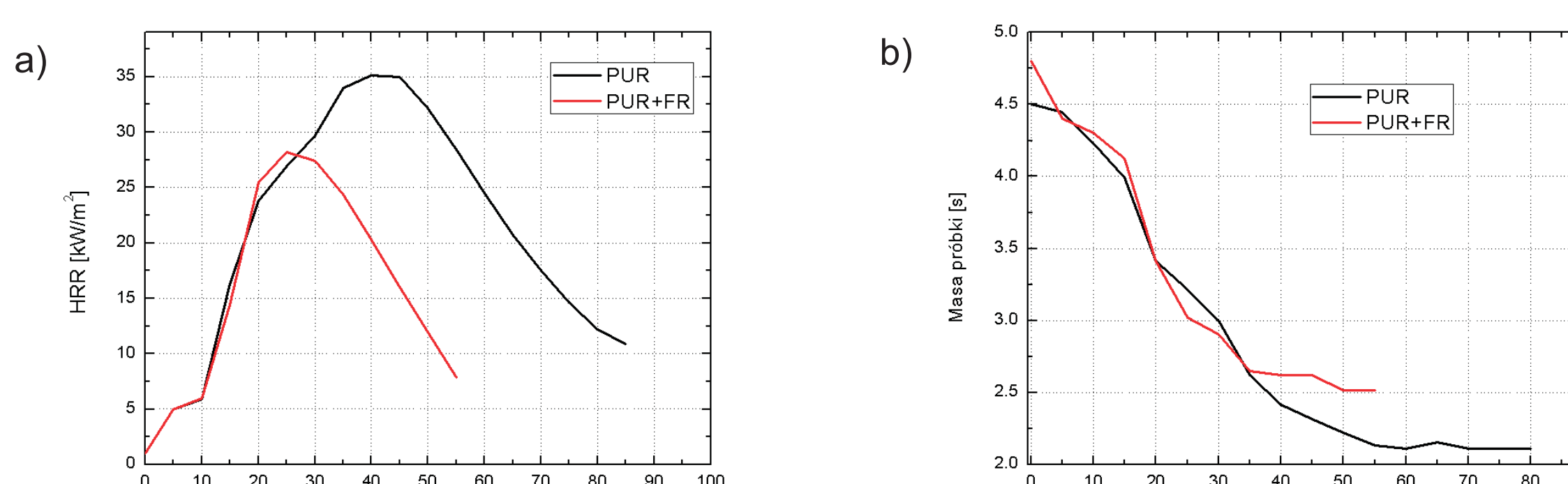
Wysłanie skrótu:
MDI - 4,4'-diizocyjananadifenylofenetanu
DABCO - 1,4-diazabicyklu[2.2.2]oktan
TEP - fosforan trietylu
APP - polifosforan amonu
GE - eksplandowany grafit
Rokopol G441 - polio
MomentiveNaxSilicone - środek stabilizujący pianki
BSQPS1 - bentonit modyfikowany soją fosforową
MH - Halozyt modyfikowany mocznikiem
FR - kombinacja antyptirenów



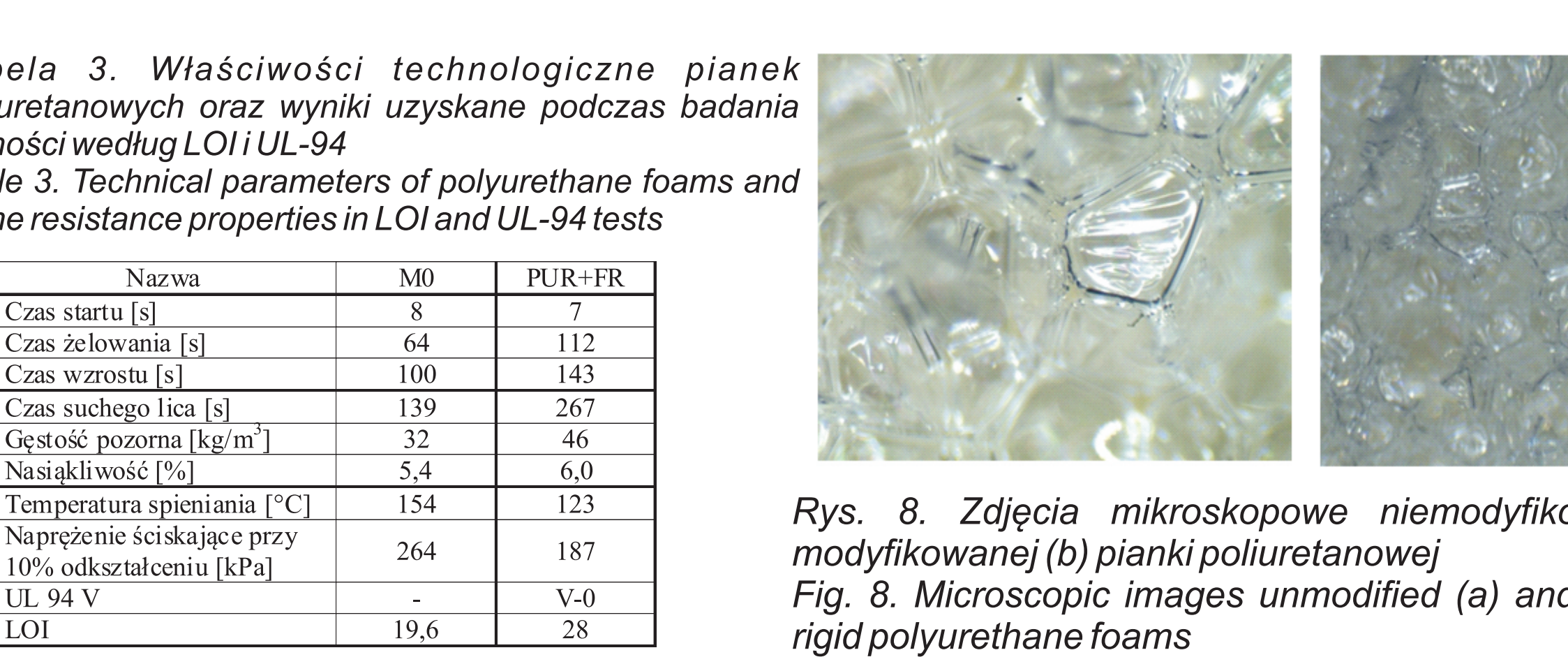
Rys. 5. Wartość indeksu tlenowego sztywnych pianek poliuretanowych
Fig. 5. Limiting Oxygen Index of rigid polyurethane foams



Rys. 6. Czasy technologiczne poszczególnych pianek poliuretanowych
Fig. 6. Processing times of polyurethane foams preparation



Rys. 3. Przebieg zmian modulu zachowawczego oraz stratiności w trakcie żelowania EP6 w temperaturze 30°C
Fig. 3. Changes of storage and loss moduli during cure of epoxy resin EP6 at 30°C



Rys. 8. Zdjęcia mikroskopowe niemyodfikowanej (a) i modyfikowanej (b) pianki poliuretanowej
Fig. 8. Microscopic images unmodified (a) and modified (b) rigid polyurethane foams

Otrzymywanie kompozytów przekładkowych "sandwich" o zwiększonej odporności na płomień
Preparation of multilayer composites "sandwich" with improved flame resistance

Rys. 9. Budowa kompozytu przekładkowego
Fig. 9. Structure of the multilayer composite



Rys. 10. Wygląd próbek kompozytów przekładkowych: szklanych (a), węglowych (b) po badaniu odporności na płomień wg normy UL-94
Fig. 10. Multilayer composite samples with glass (a) and carbon (b) face sheets after UL-94 flammability tests

Elastometry epoksydowe zmniejszającymi palność silsesquioxanami
Epoxy elastomers modified with flame retardants silsesquioxane

Struktury stosowanych żywic epoksydowych, reaktywnego napełniacza i czynnika sieciującego
Chemical structures of the epoxy resins, curing agent and the nanofiller

Zywice epoksydowe
Epoxy resins

ether diglycidylowy 1,4-butanoliodu (Ether1,4)

ether diglycidylowy 1,6-hexanediolu (Ether1,6)

Czynnik sieciujący
Jeffamine D2000 (D2000)

Reaktywny napełniacz
oktaakis[3-(glicydkosypropilo)dimeetylilosyloksy]-oktaalkilsesquioxan (POSS-OG)

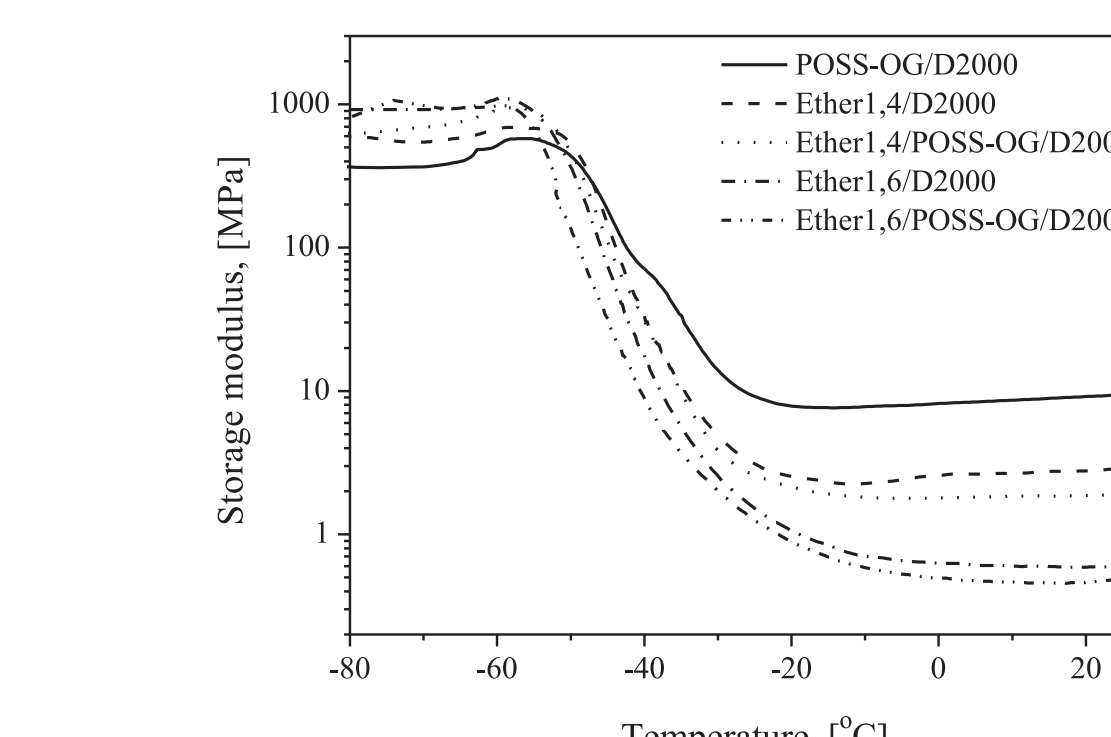
Rys. 11. Termogramy DSC kompozycji (szybkość ogrzewania: 10 K/min)
Fig. 11. DSC thermograms of epoxy compositions (heating rate: 10K/min)

Tabela 5. Wyniki analizy DSC
Table 5. Results of DSC analysis

Kompozycja	Entalpia procesu sieciowania [kJ/mol]	Temperatura maksimum piku [°C]
Ether1,4/POSS-OG/D2000	-128,9	218,7
Ether1,4/POSS-OG/D2000	-67,9	220,5
Ether1,6/D2000	-124,7	208,7
Ether1,6/POSS-OG/D2000	-68,3	207,2
POSS-OG/D2000	-103,0	231,2

Rys. 11. Termogramy DSC kompozycji (szybkość ogrzewania: 10 K/min)
Fig. 11. DSC thermograms of epoxy compositions (heating rate: 10K/min)

Właściwości termomechaniczne usieciowanych kompozycji
Thermomechanical properties of the cross-linked compositions



Rys. 12. Termogramy DMA usieciowanych kompozycji
Fig. 12. DMA thermograms of cured compositions